

Camada equivalente aplicada ao processamento e interpretação de dados de campos potenciais

Vanderlei C. Oliveira Jr.

2016



**Observatório
Nacional**



Integral de continuação para cima

Vanderlei C. Oliveira Jr.

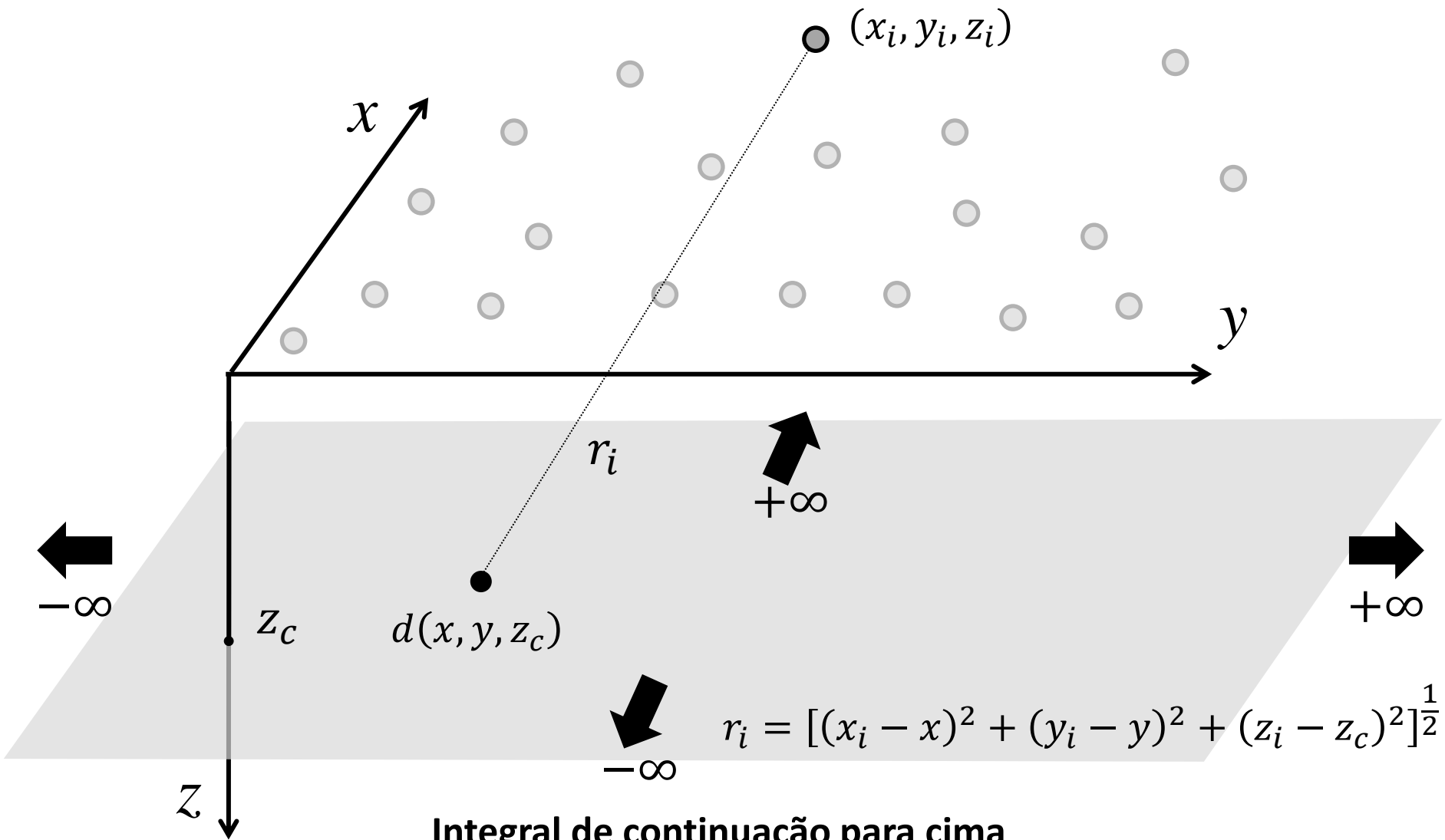
2016



Observatório
Nacional

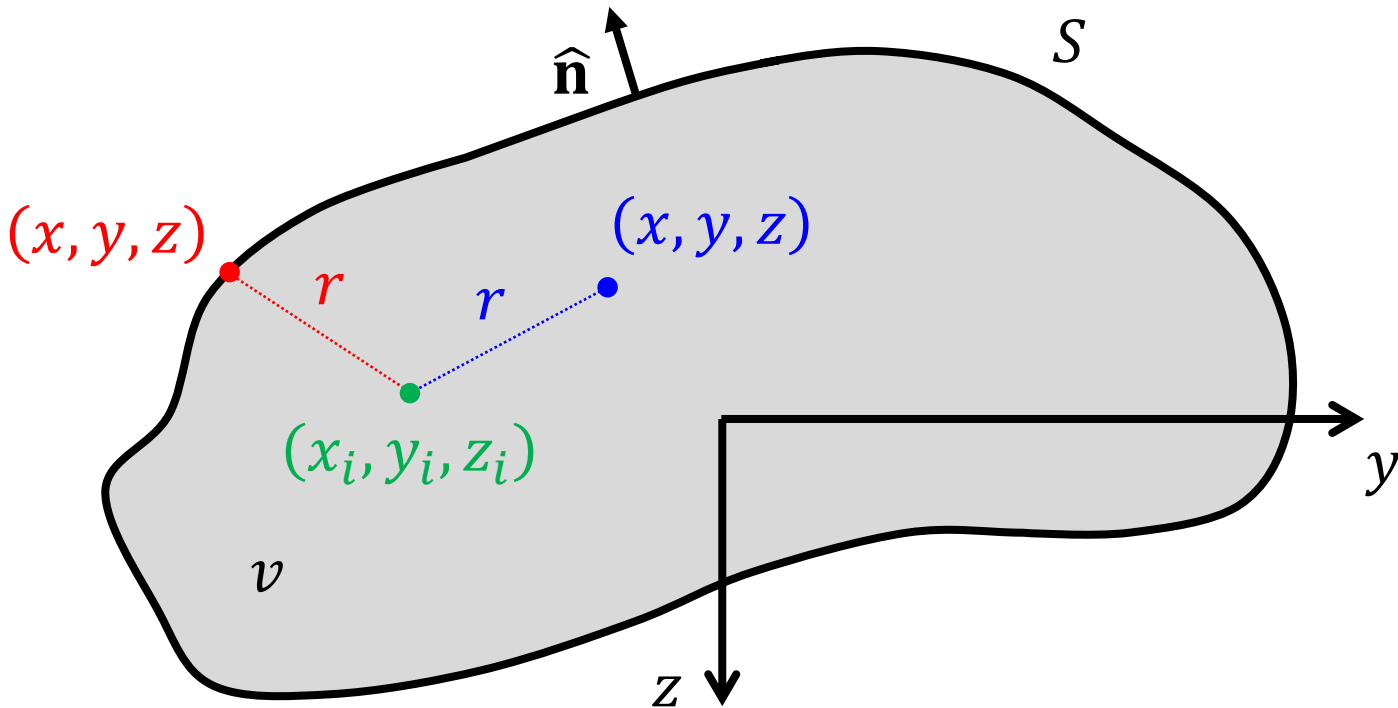


Tal como mencionado anteriormente, a técnica da camada equivalente é baseada em uma equação integral chamada **integral de continuação para cima** (Skeels, 1947; Henderson and Zietz, 1949; Henderson, 1960; Roy, 1962; Bhattacharyya, 1967; Henderson, 1970; Twomey, 1977; Blakely, 1996)



$$d(x_i, y_i, z_i) = \frac{z_c - z_i}{2\pi} \int_{-\infty}^{+\infty} \int_{-\infty}^{+\infty} \frac{d(x, y, z_c)}{r_i^3} dx dy, \quad z_c > z_i$$

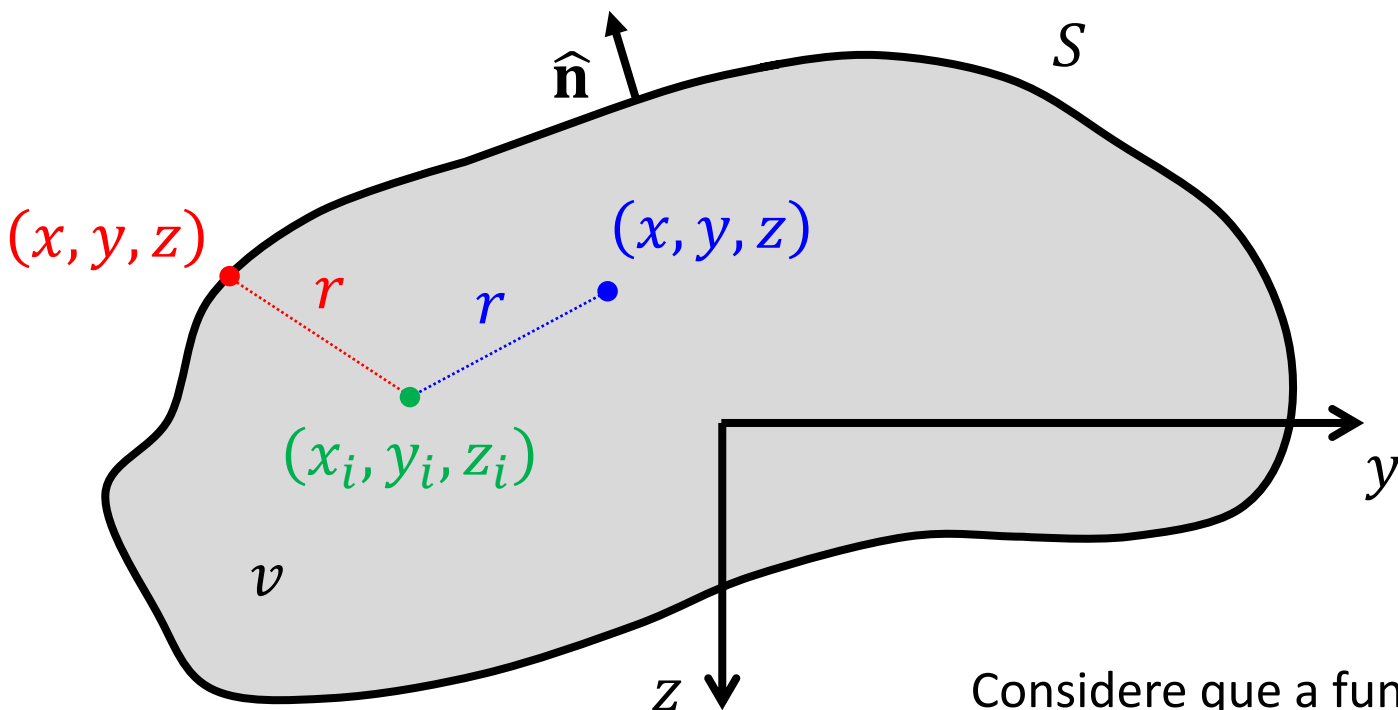
A integral de continuação para cima é deduzida a partir das **identidades de Green** (Green, 1871; Kellogg, 1929)



$$U_i \equiv U(x_i, y_i, z_i) \quad r = \sqrt{(x - x_i)^2 + (y - y_i)^2 + (z - z_i)^2}$$

$$U_i = -\frac{1}{4\pi} \iiint_v \frac{1}{r} \nabla^2 U \, dv - \frac{1}{4\pi} \iint_S U \left(\nabla \frac{1}{r} \right)^T \hat{\mathbf{n}} - \frac{1}{r} \nabla U^T \hat{\mathbf{n}} \, dS$$

Terceira identidade de Green (Kellogg, 1929)



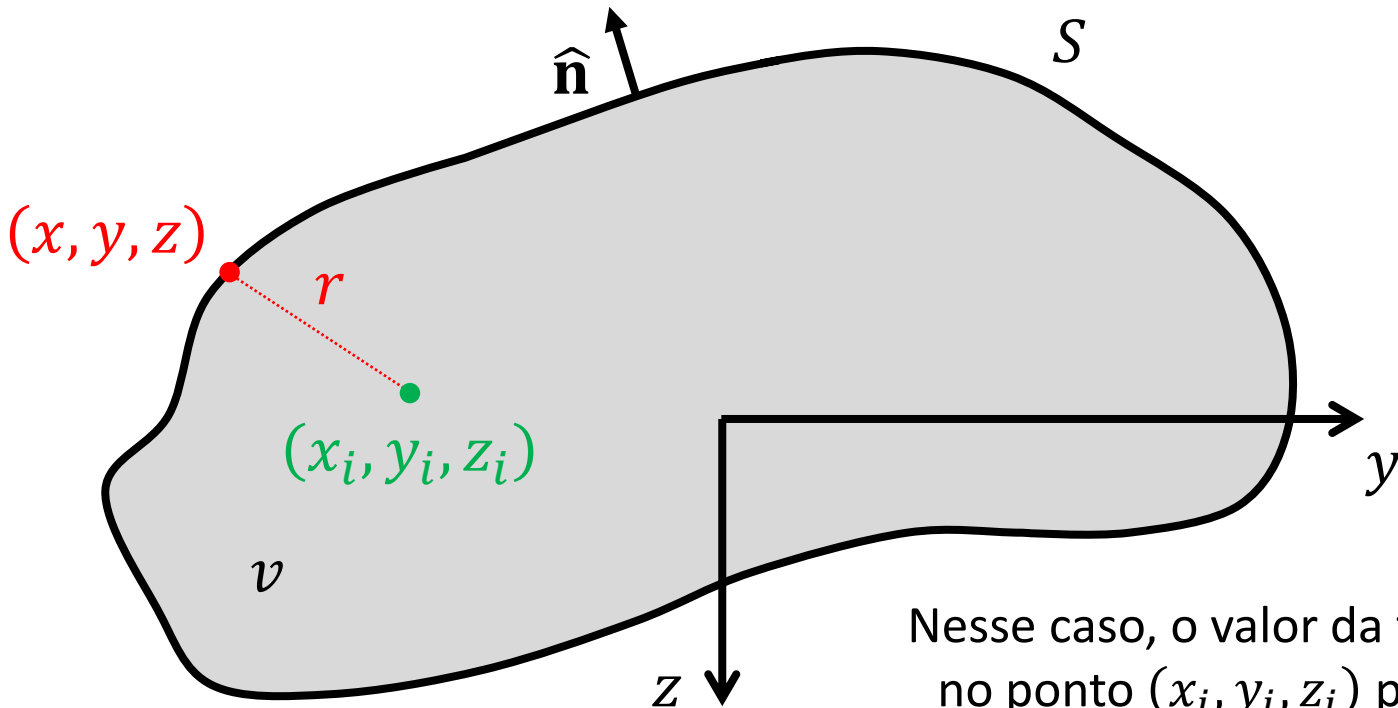
Considere que a função U seja harmônica no volume v

$$U_i \equiv U(x_i, y_i, z_i)$$

$$U_i = -\frac{1}{4\pi} \iiint_v \frac{1}{r} \cancel{\nabla^2 U} dv - \frac{1}{4\pi} \iint_S U \left(\nabla \frac{1}{r} \right)^T \hat{n} - \frac{1}{r} \nabla U^T \hat{n} dS$$

= 0

Terceira identidade de Green (Kellogg, 1929)

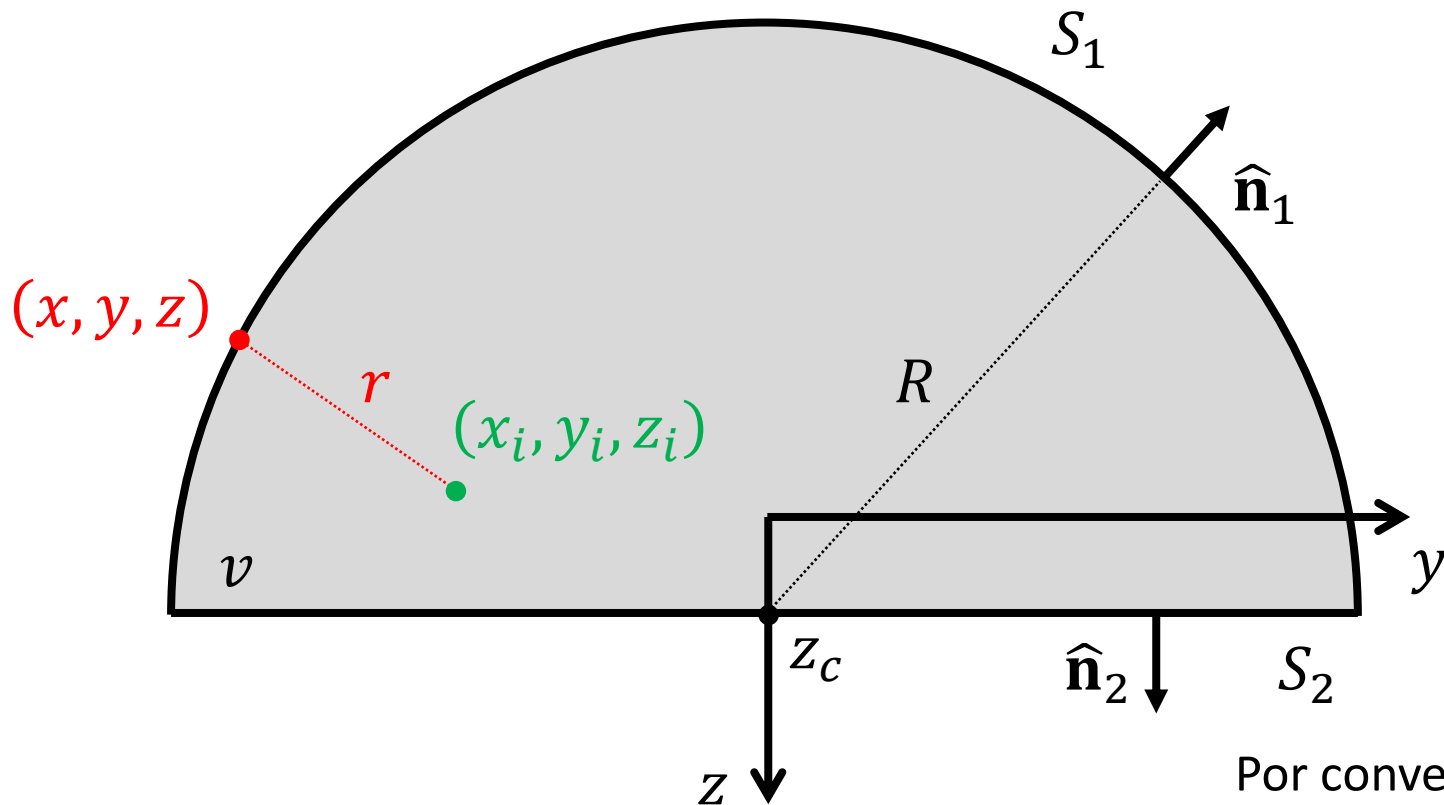


Nesse caso, o valor da função U no ponto (x_i, y_i, z_i) pode ser determinado a partir de uma combinação entre os valores de U e de suas primeiras derivadas sobre a superfície S

$$U_i \equiv U(x_i, y_i, z_i)$$

$$U_i = -\frac{1}{4\pi} \iint_S U \left(\nabla \frac{1}{r} \right)^T \hat{\mathbf{n}} - \frac{1}{r} \nabla U^T \hat{\mathbf{n}} dS$$

Terceira identidade de Green (Kellogg, 1929)

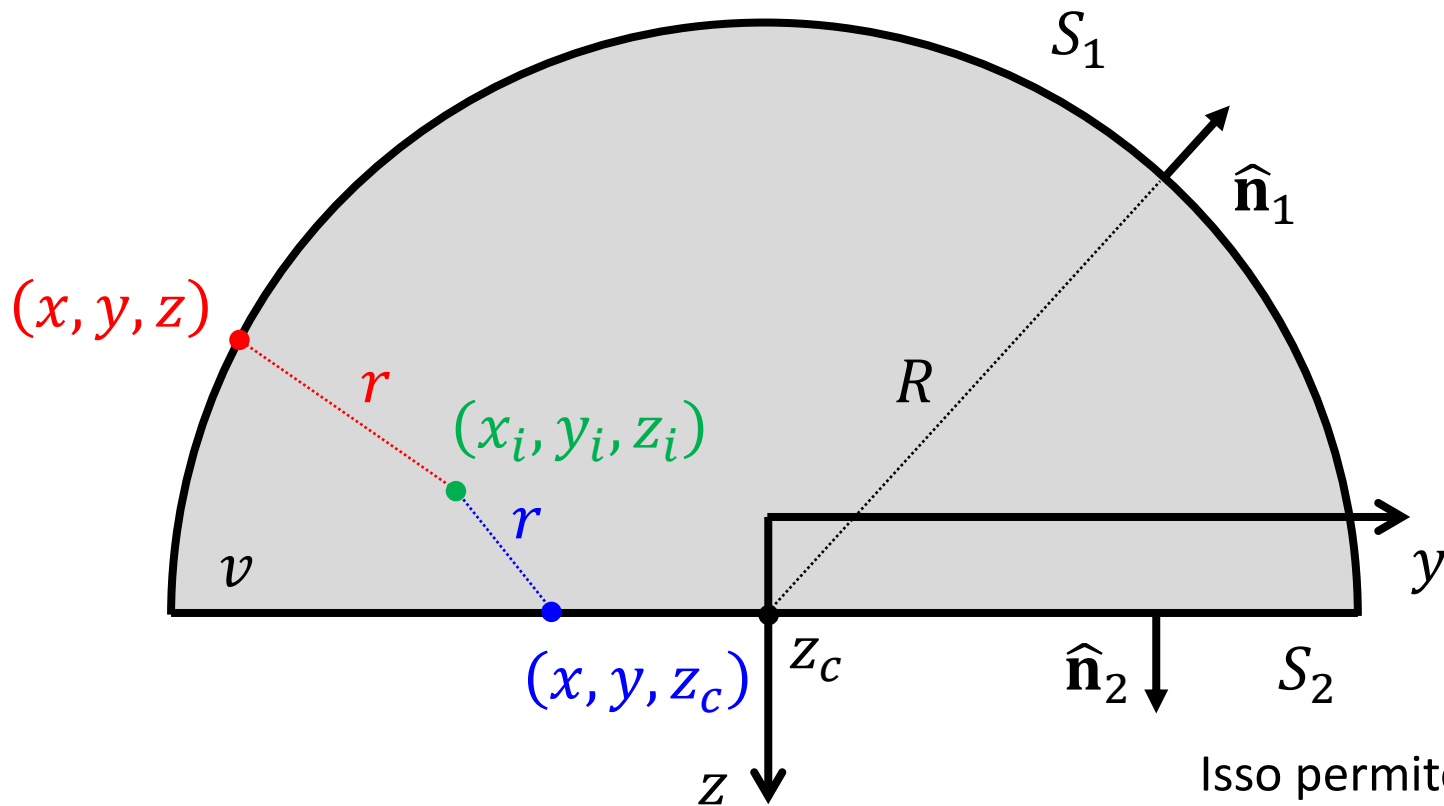


Por conveniência,
considere uma região v
limitada por uma
semiesfera S_1 de raio R
e um plano horizontal
 S_2 localizado em z_c ,
acima das fontes

$$U_i \equiv U(x_i, y_i, z_i)$$

$$U_i = -\frac{1}{4\pi} \iint_S U \left(\nabla \frac{1}{r} \right)^T \hat{\mathbf{n}} - \frac{1}{r} \nabla U^T \hat{\mathbf{n}} dS$$

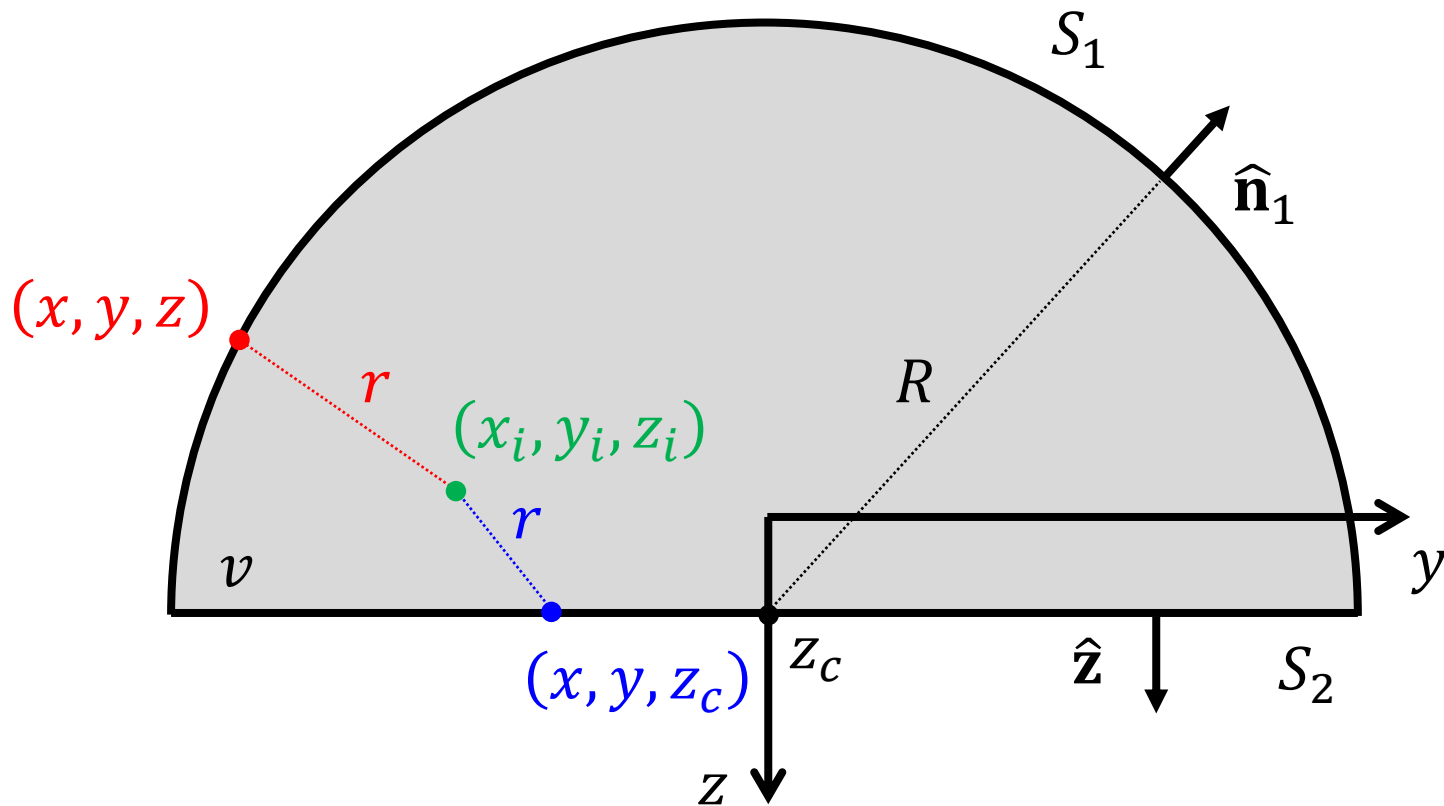
Terceira identidade de Green (Kellogg, 1929)



Isso permite dividir a integral de superfície em duas partes, uma avaliada sobre S_1 e a outra avaliada sobre S_2

$$U_i = -\frac{1}{4\pi} \iint_{S_1} U \left(\nabla \frac{1}{r} \right)^T \hat{\mathbf{n}}_1 - \frac{1}{r} \nabla U^T \hat{\mathbf{n}}_1 dS_1 +$$

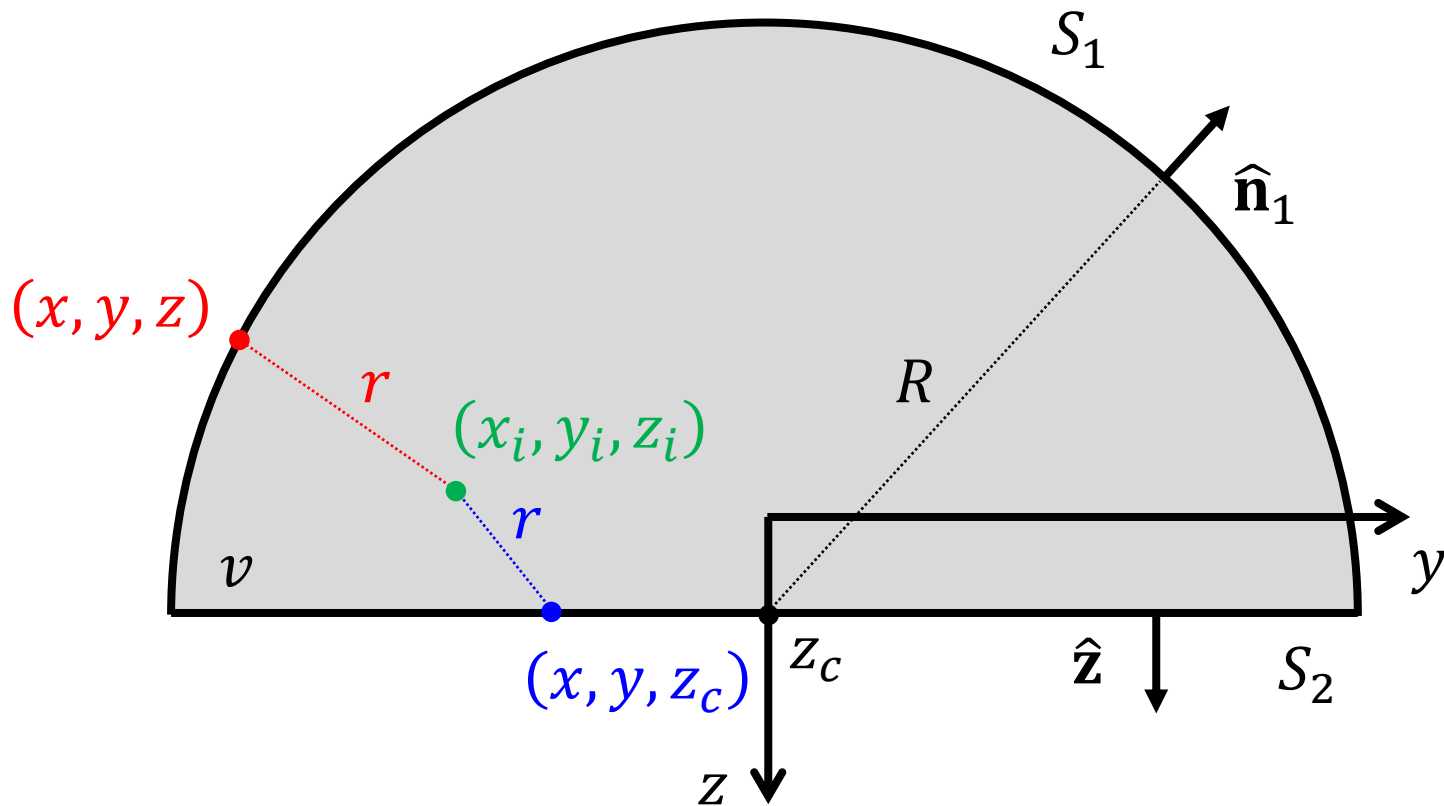
$$-\frac{1}{4\pi} \iint_{S_2} U \left(\nabla \frac{1}{r} \right)^T \hat{\mathbf{n}}_2 - \frac{1}{r} \nabla U^T \hat{\mathbf{n}}_2 dS_2$$



$$U_i = -\frac{1}{4\pi} \iint_{S_1} U \left(\nabla \frac{1}{r} \right)^T \hat{\mathbf{n}}_1 - \frac{1}{r} \nabla U^T \hat{\mathbf{n}}_1 dS_1 +$$

$$-\frac{1}{4\pi} \iint_{S_2} U \left(\nabla \frac{1}{r} \right)^T \hat{\mathbf{z}} - \frac{1}{r} \nabla U^T \hat{\mathbf{z}} dx dy$$

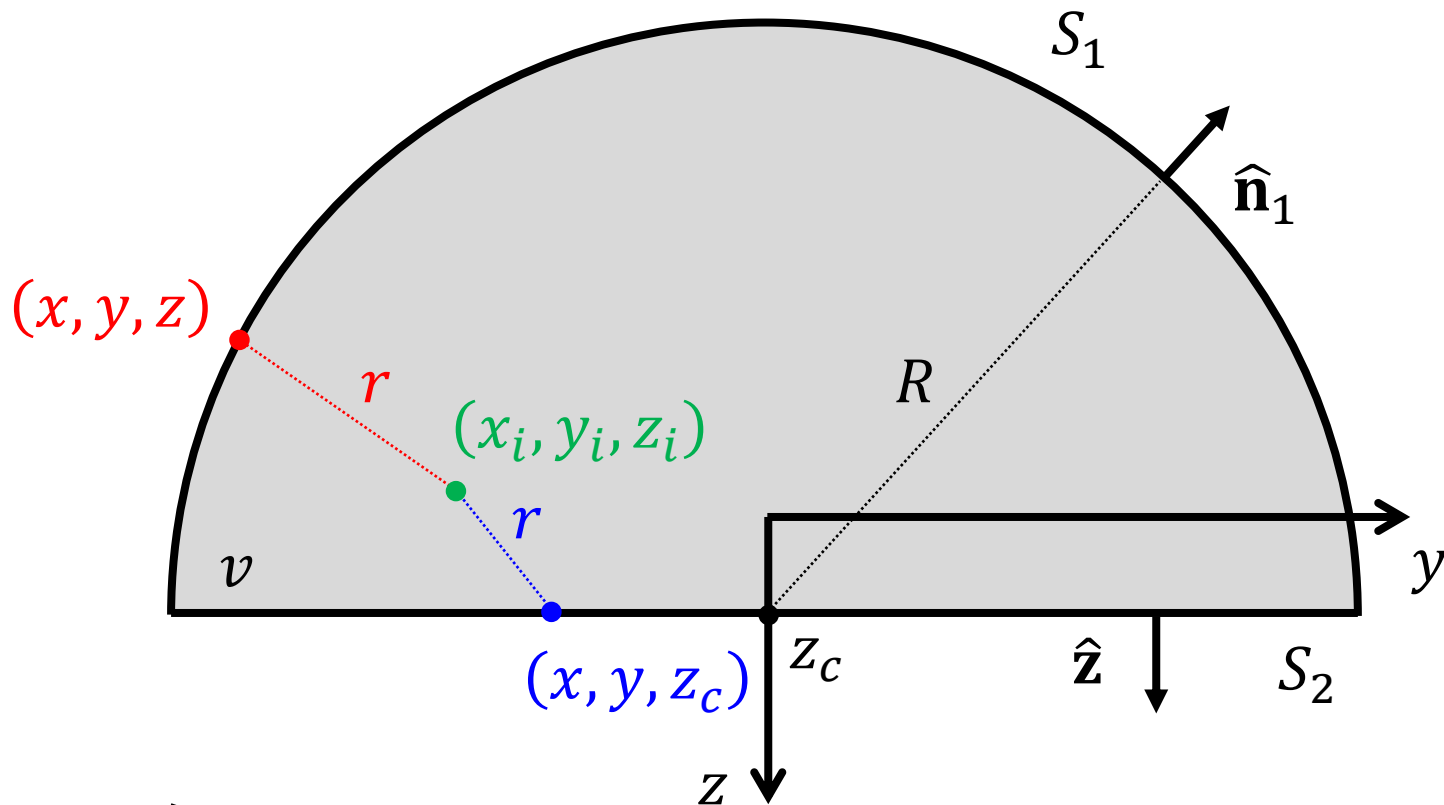
Note que a normal $\hat{\mathbf{n}}_2$ coincide com o vetor unitário $\hat{\mathbf{z}}$ na direção do eixo z e que o elemento de área $dS_2 = dx dy$



$$U_i = -\frac{1}{4\pi} \iint_{S_1} U \left(\nabla \frac{1}{r} \right)^T \hat{\mathbf{n}}_1 - \frac{1}{r} \nabla U^T \hat{\mathbf{n}}_1 dS_1 +$$

$$-\frac{1}{4\pi} \iint_{S_2} U \frac{\partial}{\partial z} \frac{1}{r} - \frac{1}{r} \frac{\partial U}{\partial z} dx dy$$

Consequentemente, as derivadas na direção de $\hat{\mathbf{n}}_2$ equivalem à derivada parcial em relação à coordenada z

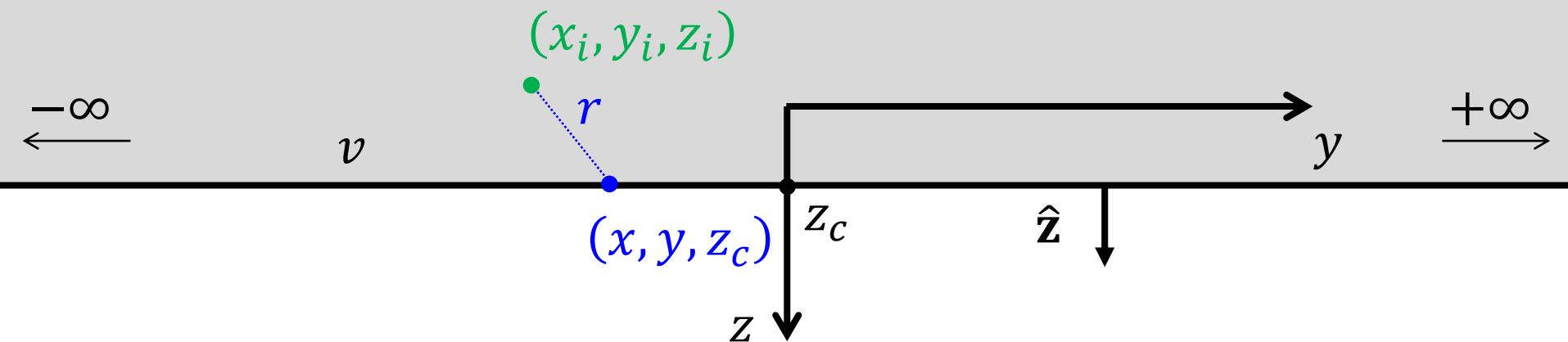


$$U_i = -\frac{1}{4\pi} \iint_{S_1} U \left(\nabla \frac{1}{r} \right)^T \hat{n}_1 - \frac{1}{r} \nabla U^T \hat{n}_1 dS_1 +$$

$= 0$

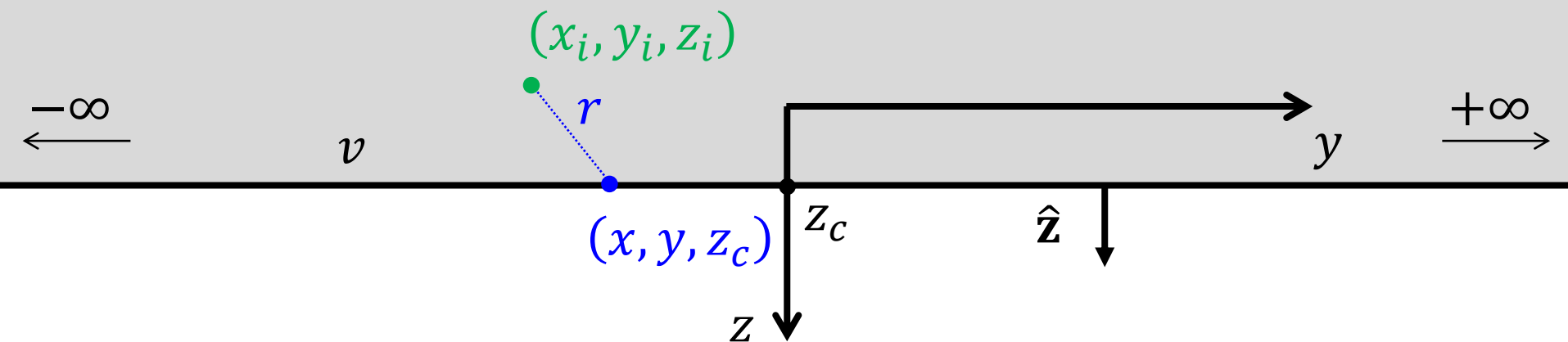
$$-\frac{1}{4\pi} \iint_{S_2} U \frac{\partial}{\partial z} \frac{1}{r} - \frac{1}{r} \frac{\partial U}{\partial z} dx dy$$

No limite $R \rightarrow \infty$, a
integral sobre a superfície
 S_1 tende a zero



$$U_i = -\frac{1}{4\pi} \int_{-\infty}^{+\infty} \int_{-\infty}^{+\infty} U \frac{\partial}{\partial z} \frac{1}{r} - \frac{1}{r} \frac{\partial U}{\partial z} dx dy$$

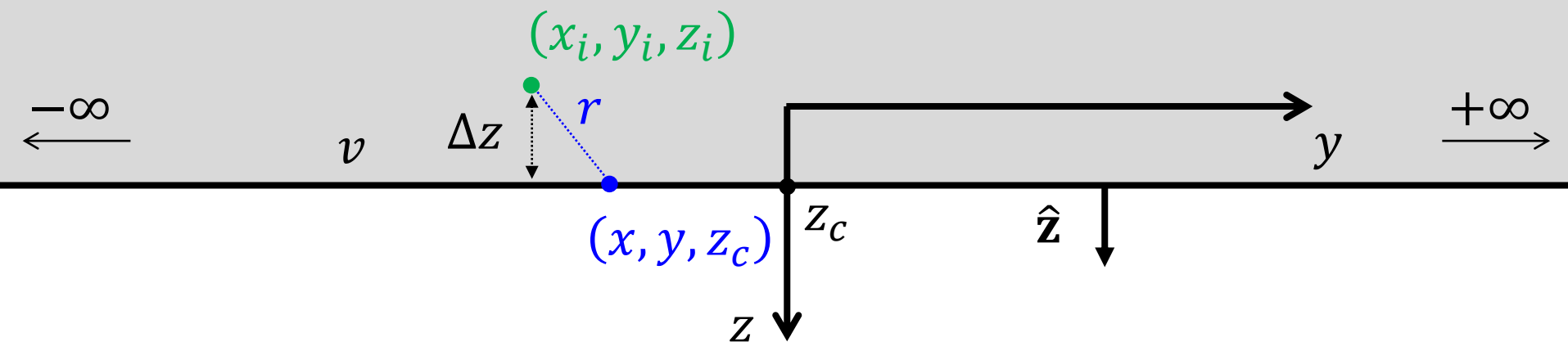
Note que, neste caso, o valor da função U no ponto (x_i, y_i, z_i) é determinado por uma combinação entre os seus valores e os de sua derivada parcial em relação à coordenada z sobre o plano horizontal z_c



$$U_i = -\frac{1}{4\pi} \int_{-\infty}^{+\infty} \int_{-\infty}^{+\infty} U \frac{\partial}{\partial z} \frac{1}{r} - \frac{1}{r} \frac{\partial U}{\partial z} dx dy$$



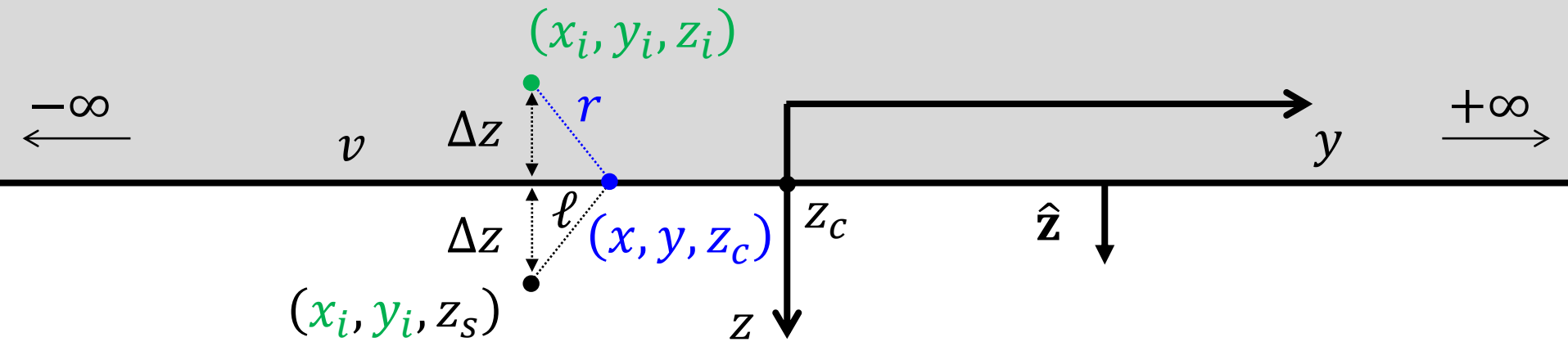
Para deduzir a integral de
continuação para cima, é
necessário remover o termo que
envolve a derivada parcial de U



$$U_i = -\frac{1}{4\pi} \int_{-\infty}^{+\infty} \int_{-\infty}^{+\infty} U \frac{\partial}{\partial z} \frac{1}{r} - \frac{1}{r} \frac{\partial U}{\partial z} dx dy$$

Para tanto, considere
 $z_i = z_c - \Delta z$, em que $\Delta z > 0$

$$\frac{1}{\ell} = \frac{1}{\sqrt{(x - x_i)^2 + (y - y_i)^2 + (z_c - z_s)^2}}$$

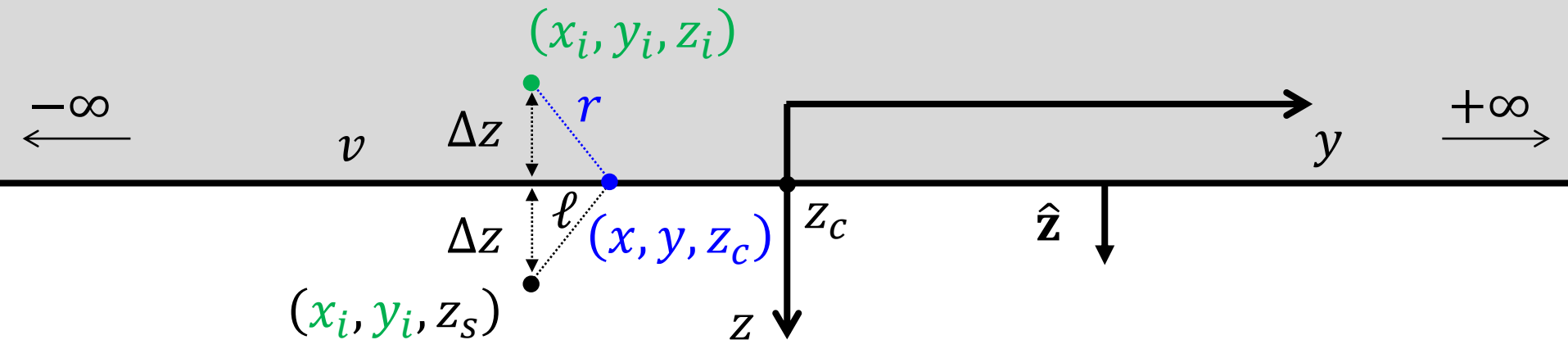


$$U_i = -\frac{1}{4\pi} \int_{-\infty}^{+\infty} \int_{-\infty}^{+\infty} U \frac{\partial}{\partial z} \frac{1}{r} - \frac{1}{r} \frac{\partial U}{\partial z} dx dy$$

O próximo passo consiste em definir a função inverso da distância entre um ponto (x, y, z_c) e o ponto (x_i, y_i, z_s)

$$\frac{1}{\ell} = \frac{1}{\sqrt{(x - x_i)^2 + (y - y_i)^2 + (z_c - z_s)^2}}$$

$$\frac{1}{r} = \frac{1}{\sqrt{(x - x_i)^2 + (y - y_i)^2 + (z_c - z_i)^2}}$$



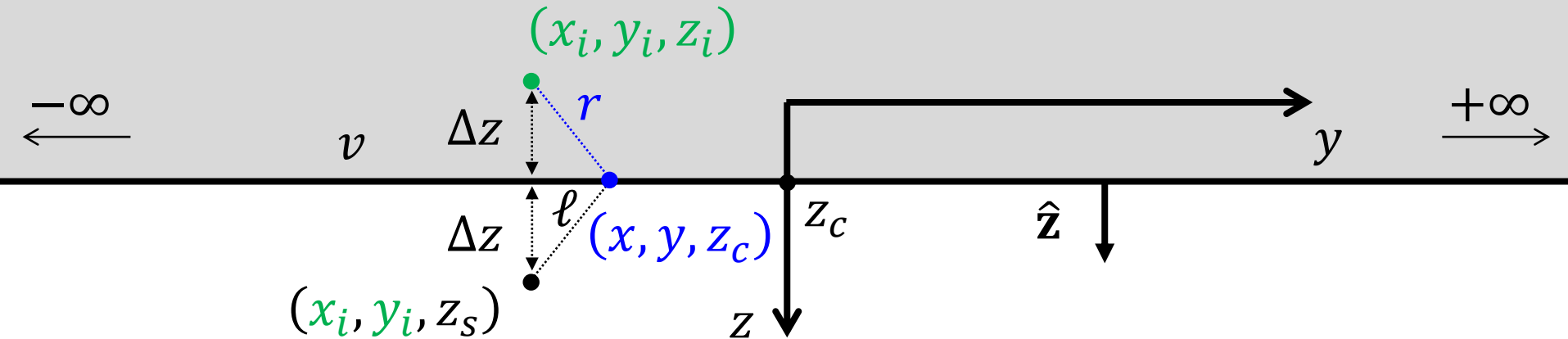
$$U_i = -\frac{1}{4\pi} \int_{-\infty}^{+\infty} \int_{-\infty}^{+\infty} U \frac{\partial}{\partial z} \frac{1}{r} - \frac{1}{r} \frac{\partial U}{\partial z} dx dy$$

O próximo passo consiste em definir a função inverso da distância entre um ponto (x, y, z_c) e o ponto (x_i, y_i, z_s)

Note a diferença entre esta nova função $1/\ell$ e a função $1/r$

$$\frac{1}{\ell} = \frac{1}{\sqrt{(x - x_i)^2 + (y - y_i)^2 + (z_c - z_s)^2}}$$

$$\frac{1}{r} = \frac{1}{\sqrt{(x - x_i)^2 + (y - y_i)^2 + (z_c - z_i)^2}}$$



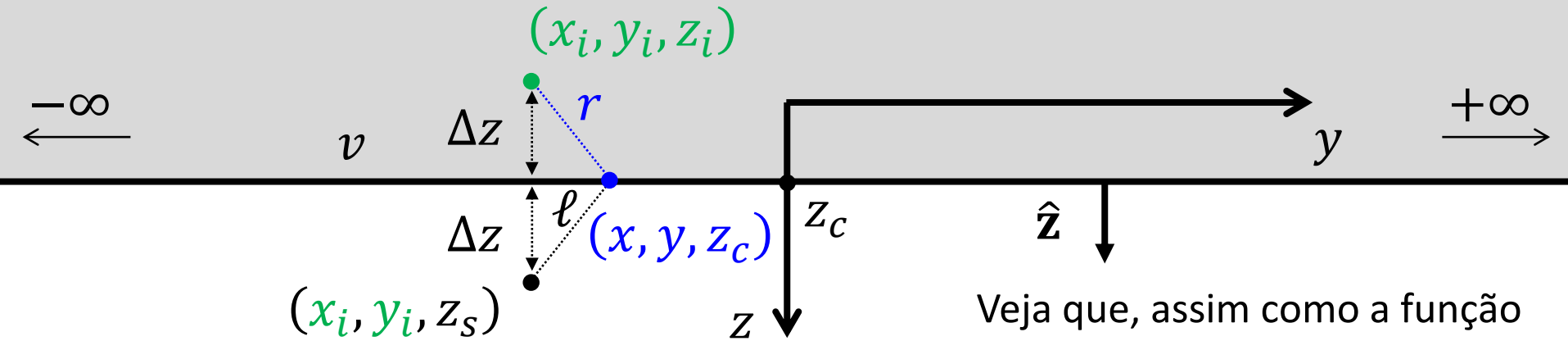
$$U_i = -\frac{1}{4\pi} \int_{-\infty}^{+\infty} \int_{-\infty}^{+\infty} U \frac{\partial}{\partial z} \frac{1}{r} - \frac{1}{r} \frac{\partial U}{\partial z} dx dy$$

Sendo assim, de acordo com a segunda identidade de Green

$$\iiint_v U \nabla^2 \frac{1}{\ell} - \frac{1}{\ell} \nabla^2 U dv = \iint_S U \left(\nabla \frac{1}{\ell} \right)^T \hat{\mathbf{n}} - \frac{1}{\ell} \nabla U^T \hat{\mathbf{n}} dS$$

$$\frac{1}{\ell} = \frac{1}{\sqrt{(x - x_i)^2 + (y - y_i)^2 + (z_c - z_s)^2}}$$

$$\frac{1}{r} = \frac{1}{\sqrt{(x - x_i)^2 + (y - y_i)^2 + (z_c - z_i)^2}}$$



$$U_i = -\frac{1}{4\pi} \int_{-\infty}^{+\infty} \int_{-\infty}^{+\infty} U \frac{\partial}{\partial z} \frac{1}{r} - \frac{1}{r} \frac{\partial U}{\partial z} dx dy$$

= 0 = 0

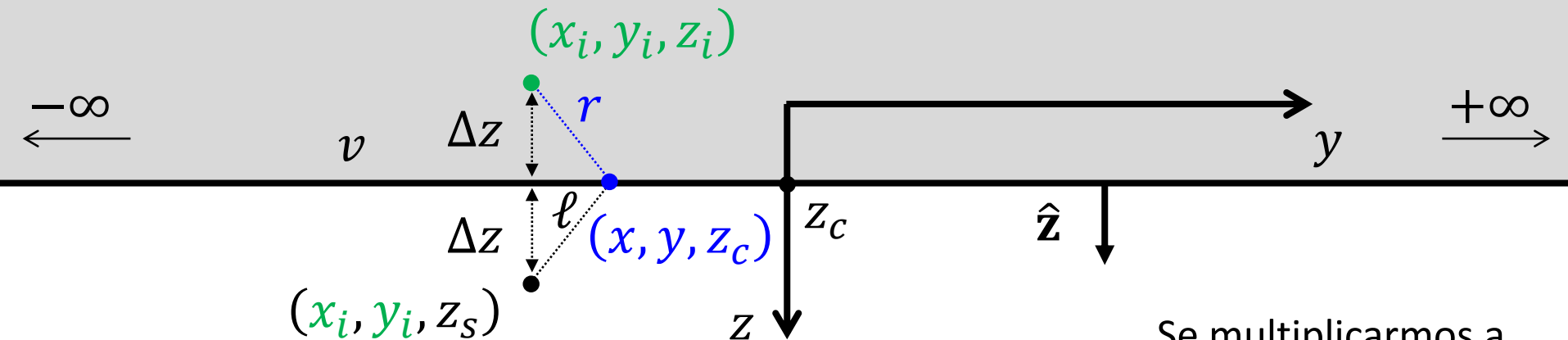
Veja que, assim como a função U , a função $1/\ell$ é harmônica em todo o volume v

Além disso, assim como fizemos anteriormente, considere $R \rightarrow \infty$

$$\iiint_v U \cancel{\nabla^2 \frac{1}{\ell}} - \frac{1}{\ell} \cancel{\nabla^2 U} dv = \iint_S U \left(\nabla \frac{1}{\ell} \right)^T \hat{\mathbf{n}} - \frac{1}{\ell} \nabla U^T \hat{\mathbf{n}} dS$$

$$\frac{1}{\ell} = \frac{1}{\sqrt{(x - x_i)^2 + (y - y_i)^2 + (z_c - z_s)^2}}$$

$$\frac{1}{r} = \frac{1}{\sqrt{(x - x_i)^2 + (y - y_i)^2 + (z_c - z_i)^2}}$$



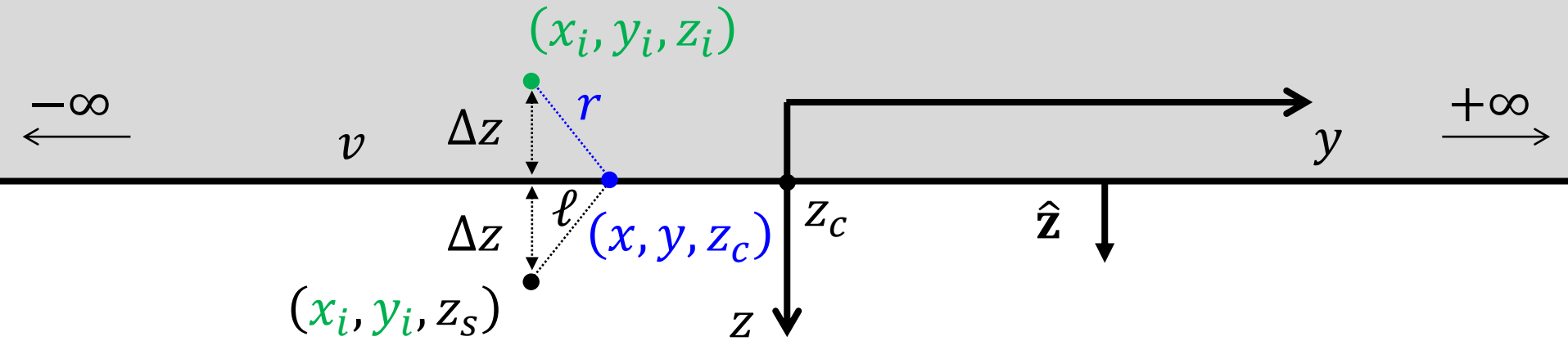
$$U_i = -\frac{1}{4\pi} \int_{-\infty}^{+\infty} \int_{-\infty}^{+\infty} U \frac{\partial}{\partial z} \frac{1}{r} - \frac{1}{r} \frac{\partial U}{\partial z} dx dy$$

Se multiplicarmos a equação abaixo por $1/4\pi$ e somarmos o resultado na equação acima...

$$0 = \int_{-\infty}^{+\infty} \int_{-\infty}^{+\infty} U \frac{\partial}{\partial z} \frac{1}{\ell} - \frac{1}{\ell} \frac{\partial U}{\partial z} dx dy$$

$$\frac{1}{\ell} = \frac{1}{\sqrt{(x - x_i)^2 + (y - y_i)^2 + (z_c - z_s)^2}}$$

$$\frac{1}{r} = \frac{1}{\sqrt{(x - x_i)^2 + (y - y_i)^2 + (z_c - z_i)^2}}$$

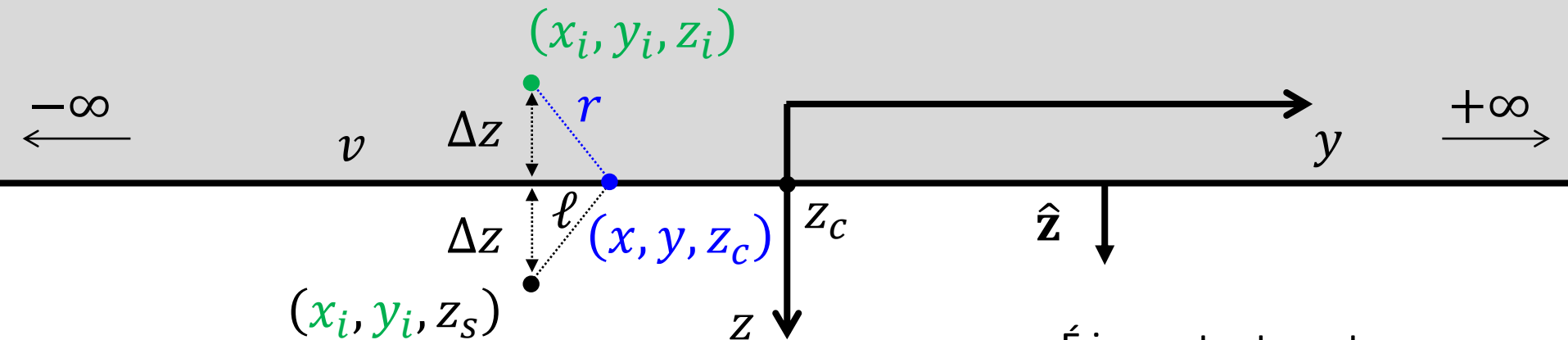


$$U_i = -\frac{1}{4\pi} \int_{-\infty}^{+\infty} \int_{-\infty}^{+\infty} U \frac{\partial}{\partial z} \frac{1}{r} - \frac{1}{r} \frac{\partial U}{\partial z} dx dy$$

$$U_i = -\frac{1}{4\pi} \int_{-\infty}^{+\infty} \int_{-\infty}^{+\infty} U \frac{\partial}{\partial z} \left(\frac{1}{r} - \frac{1}{\ell} \right) - \left(\frac{1}{r} - \frac{1}{\ell} \right) \frac{\partial U}{\partial z} dx dy$$

$$\frac{1}{\ell} = \frac{1}{\sqrt{(x - x_i)^2 + (y - y_i)^2 + (z_c - z_s)^2}}$$

$$\frac{1}{r} = \frac{1}{\sqrt{(x - x_i)^2 + (y - y_i)^2 + (z_c - z_i)^2}}$$



$$U_i = -\frac{1}{4\pi} \int_{-\infty}^{+\infty} \int_{-\infty}^{+\infty} U \frac{\partial}{\partial z} \frac{1}{r} - \frac{1}{r} \frac{\partial U}{\partial z} dx dy$$

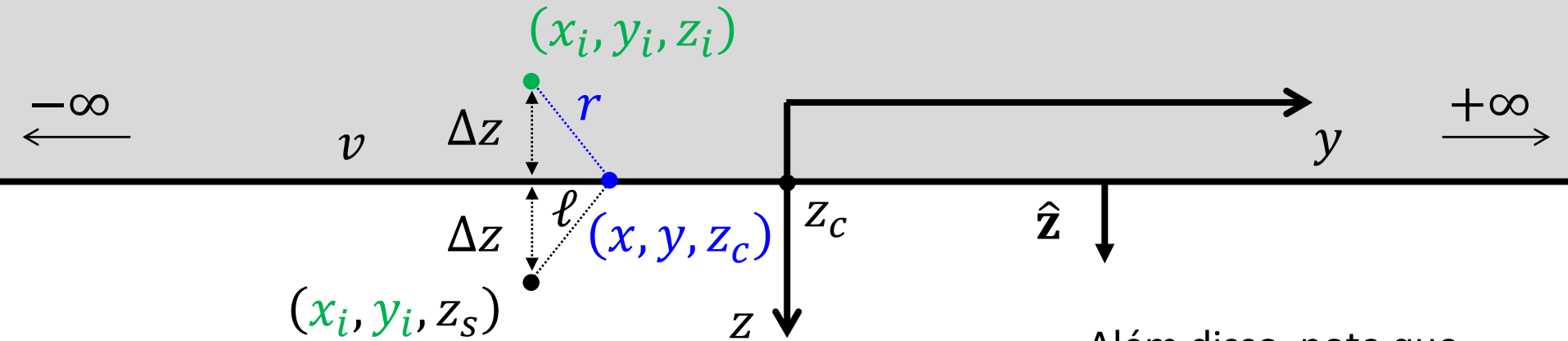
É importante notar que,
como $z_s = z_c + \Delta z$ e
 $z_i = z_c - \Delta z$, então
 $1/\ell = 1/r$

$$U_i = -\frac{1}{4\pi} \int_{-\infty}^{+\infty} \int_{-\infty}^{+\infty} U \frac{\partial}{\partial z} \left(\frac{1}{r} - \frac{1}{\ell} \right) - \left(\cancel{\frac{1}{r}} - \cancel{\frac{1}{\ell}} \right) \frac{\partial U}{\partial z} dx dy$$

$= 0$

$$\frac{1}{\ell} = \frac{1}{\sqrt{(x - x_i)^2 + (y - y_i)^2 + (z_c - z_s)^2}}$$

$$\frac{1}{r} = \frac{1}{\sqrt{(x - x_i)^2 + (y - y_i)^2 + (z_c - z_i)^2}}$$



Além disso, note que

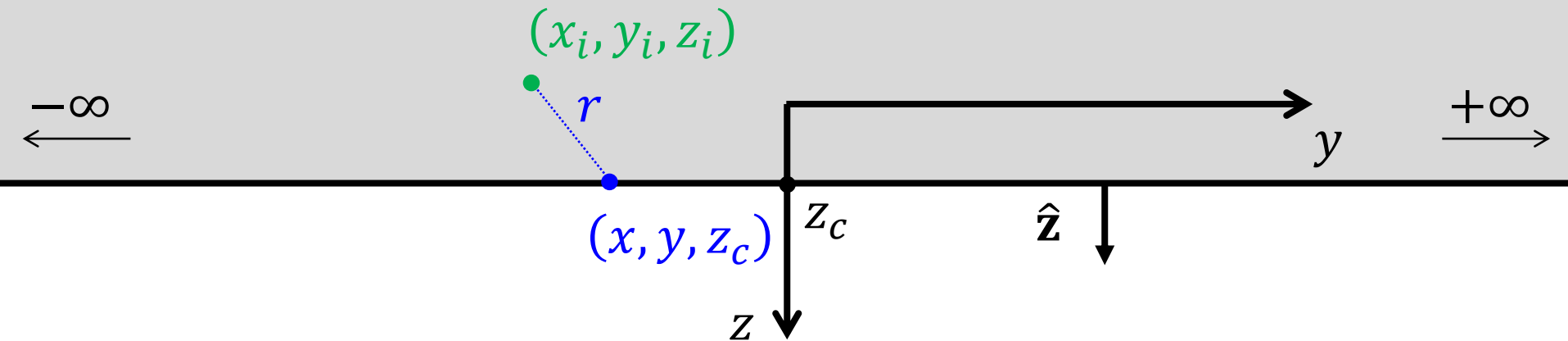
$$\frac{\partial}{\partial z} \frac{1}{\ell} = -\frac{\partial}{\partial z} \frac{1}{r}$$

$$U_i = -\frac{1}{4\pi} \int_{-\infty}^{+\infty} \int_{-\infty}^{+\infty} U \frac{\partial}{\partial z} \frac{1}{r} - \frac{1}{r} \frac{\partial U}{\partial z} dx dy$$

$$U_i = -\frac{1}{4\pi} \int_{-\infty}^{+\infty} \int_{-\infty}^{+\infty} U \frac{\partial}{\partial z} \left(\frac{1}{r} - \frac{1}{\ell} \right) - \left(\frac{1}{r} - \frac{1}{\ell} \right) \frac{\partial U}{\partial z} dx dy$$

$\nearrow = 2 \frac{\partial}{\partial z} \frac{1}{r}$
 $\nearrow = 0$

$$\frac{1}{r} = \frac{1}{\sqrt{(x - x_i)^2 + (y - y_i)^2 + (z_c - z_i)^2}}$$



$$U_i = -\frac{1}{2\pi} \int_{-\infty}^{+\infty} \int_{-\infty}^{+\infty} U \frac{\partial}{\partial z} \frac{1}{r} dx dy$$

Integral de continuação para cima
(Henderson, 1960, 1970)

$$= \frac{z_c - z_i}{2\pi} \int_{-\infty}^{+\infty} \int_{-\infty}^{+\infty} \frac{U(x, y, z_c)}{[(x_i - x)^2 + (y_i - y)^2 + (z_i - z_c)^2]^{\frac{3}{2}}} dx dy$$

Referências

- Bhattacharyya, B. K., 1967, Some general properties of potential fields in space and frequency domain: a review: *Geoexploration*, 5, 127-143.
- Blakely, R. J., 1996, *Potential theory in gravity and magnetic applications*: Cambridge University Press.
- Green, G., 1871, *Mathematical papers of the late George Green*, ed. Ferrers, N. M., London: MacMillan and Co., Cambridge University Press.
- Henderson, R. G., e Zietz, I., 1949, The upward continuation of anomalies in total magnetic intensity fields: *GEOPHYSICS*, 14, 517-534.
- Henderson, R. G., 1960, A comprehensive system of automatic computation in magnetic and gravity interpretation: *GEOPHYSICS*, 25, 569-585.
- Henderson, R. G., 1970, On the validity of the use of the upward continuation integral for total magnetic intensity data: *GEOPHYSICS*, 35, 916-919.
- Kellogg, O. D., 1929, *Foundations of potential theory*: Frederick Ungar Publishing Company.
- Roy, A., 1962, Ambiguity in geophysical interpretation: *GEOPHYSICS*, 27, 90-99.
- Skeels, D. C., 1947, Ambiguity in gravity interpretation: *GEOPHYSICS*, 12, 43-56.
- Twomey, S., 1977, *Introduction to the mathematics of inversion in remote sensing and indirect measurements*: Dover Publications, Inc.